

$B-V'-U$ модель Хаббарда в приближении статических флуктуаций

© Г.И. Мионов

Марийский государственный педагогический институт,
424002 Йошкар-Ола, Россия

(Поступила в Редакцию 20 июля 1998 г.)

В рамках приближения статических флуктуаций исследуется влияние учета переноса электронов от узла ко второму ближайшему соседнему узлу на энергетический спектр двухподрешеточной двумерной модели Хаббарда и на зависимость намагниченности от параметров системы.

Для объяснения некоторых свойств высокотемпературных сверхпроводников (ВТСП) как в сверхпроводящем, так и в нормальном состояниях возникает необходимость учета, кроме медно-кислородных интегралов перескока, еще и интегралов перескока между ближайшими кислородными атомами [1–4]. Из качественных рассуждений понятно, что учет кислород-кислородного переноса дырок должен повлиять на вид энергетического спектра, что, в свою очередь, приведет к изменению других характеристик системы. Поэтому весьма актуальной задачей является вычисление энергетического спектра системы с учетом возможности переноса электронов (либо дырок) на следующий за ближайшим соседний узел.

Цель настоящей работы — исследование зависимости энергетического спектра и намагниченности системы от величины интеграла переноса электронов на второй по близости соседний узел в случае двумерной бипартитной модели Хаббарда [5,6].

В [7,8] была разработана методика решения модели Хаббарда в приближении статических флуктуаций. По сравнению с [8] в гамильтониан Хаббарда [9] включим член, описывающий перескоки электронов подрешетки C на ближайшие узлы этой же подрешетки

$$H = H_0 + V, \quad (1)$$

$$H_0 = \sum_{\sigma, f \in A} \varepsilon_1 n_{f\sigma} + \sum_{\sigma, l \in C} \varepsilon_2 n_{l\sigma} + \sum_{\sigma, f, l} B_{fl} (a_{f\sigma}^+ a_{l\sigma} + a_{l\sigma}^+ a_{f\sigma}) + \sum_{\sigma, l', l} B_{l'l} a_{l'\sigma}^+ a_{l\sigma}, \quad (2)$$

$$V = \frac{U_1}{2} \sum_{\sigma, f \in A} n_{f\sigma} n_{f\bar{\sigma}} + \frac{U_2}{2} \sum_{\sigma, l \in C} n_{l\sigma} n_{l\bar{\sigma}}, \quad (3)$$

где $a_{j\sigma}^+$, $a_{j\sigma}$ — ферми-операторы рождения и уничтожения электронов на узле j ($j = f, l$) решетки со спином σ ; $n_{f\sigma} = a_{f\sigma}^+ a_{f\sigma}$; $\varepsilon_1(\varepsilon_2)$ — собственная энергия электрона на узле подрешетки $A(C)$; $B_{fl} = B(f-l)$, $B_{l'l} = B(l'-l)$ — интегралы переноса, описывающие перескоки электронов за счет кинетической энергии и кристаллического поля на ближайший соседний узел и на второй ближайший соседний узел по диагонали квадрата соответственно; $\bar{\sigma} = -\sigma$. Для того чтобы приблизить поведение системы, описываемой гамильтонианом (1), к ситуации, возникающей при движении дырок

на CuO_2 -плоскостях в ВТСП соединениях, полагается, что лишь электроны одной подрешетки (по аналогии с кислородом на CuO_2 -плоскостях) могут переноситься по диагонали квадрата на узлы этой же подрешетки (подчеркнем, что в статье для простоты рассуждений рассматривается гипотетическая квадратная решетка).

Уравнения движения для операторов рождения электронов в представлении Гейзенберга ($j = f, l$)

$$a_{j\sigma}^+(\tau) = \exp(H\tau) a_{j\sigma}^+(0) \exp(-H\tau), \quad (\tau = it)$$

имеют вид

$$\frac{d}{d\tau} a_{j\sigma}^+(\tau) = \varepsilon_j a_{j\sigma}^+(\tau) + \sum_i B_{ij} a_{i\sigma}^+(\tau) + \sum_{j'} B_{jj'} a_{j'\sigma}^+(\tau) + U_j n_{j\bar{\sigma}} a_{j\sigma}^+(\tau), \quad (4)$$

где

$$\varepsilon_j = \begin{cases} \varepsilon_1, & j = f \\ \varepsilon_2, & j = l \end{cases}, \quad U_j = \begin{cases} U_1, & j = f \\ U_2, & j = l \end{cases},$$

$$B_{jj'} = \begin{cases} 0, & j = f, j' = f' \\ B_{ll'}, & j = l, j' = l' \end{cases}, \quad B_{ij} = B_{fl} = B_{lf}.$$

Операторы $n_{j\bar{\sigma}}$ в (4) представим следующим образом [7,8]:

$$n_{j\bar{\sigma}} = \langle n_{j\bar{\sigma}} \rangle + \Delta n_{j\bar{\sigma}}. \quad (5)$$

Термодинамические средние $\langle n_{j\bar{\sigma}} \rangle = \text{Sp}\{n_{j\bar{\sigma}} \exp(-\beta H)\}$ предлагаются независимыми от номера узла j в каждой из подрешеток, $\Delta n_{j\bar{\sigma}} = \Delta n_{j\bar{\sigma}}(\tau)$ — оператор флуктуации числа частиц в представлении Гейзенберга.

Корреляционные функции $\langle n_{j\bar{\sigma}} \rangle$ выразим через среднее значение проекции спина узла $S = \langle S_f^z \rangle = -\langle S_{f+\Delta}^z \rangle$, где вектор Δ соединяет соседние атомы, и концентрацию n (нас интересует случай $n = 1$) следующим образом [8]:

$$\langle n_{f\bar{\sigma}} \rangle = \langle n_{l\sigma} \rangle = 1/2 + S, \quad (6)$$

$$\langle n_{f\sigma} \rangle = \langle n_{l\bar{\sigma}} \rangle = 1/2 - S. \quad (7)$$

С учетом (5)–(7) дифференциальное уравнение (4) перепишем в виде

$$\begin{aligned} \frac{d}{d\tau} a_{j\sigma}^+(\tau) = \varepsilon'_{j\sigma} a_{j\sigma}^+(\tau) + \sum_i B_{ij} a_{i\sigma}^+(\tau) \\ + \sum_{j'} B_{jj'} a_{j'\sigma}^+(\tau) + U_j \Delta n_{j\bar{\sigma}} a_{j\sigma}^+(\tau), \end{aligned} \quad (8)$$

где $\varepsilon'_1 = \varepsilon_1 + U_1/2 + SU_1$, $\varepsilon'_2 = \varepsilon_2 + U_2/2 - SU_2$.

Гейзенберговские операторы представим следующим образом [8,10,11]:

$$a_{j\sigma}^+(\tau) = \exp(H_0\tau) \tilde{a}_{j\sigma}^+(\tau) \exp(-H_0\tau), \quad (9)$$

где H_0 — гамильтониан, входящий в (1), с учетом перенормировок собственных энергий электронов (замен $\varepsilon_1 \rightarrow \varepsilon'_1$, $\varepsilon_2 \rightarrow \varepsilon'_2$). Оператор $\tilde{a}_{j\sigma}^+(\tau)$ определяется следующим образом:

$$\tilde{a}_{j\sigma}^+(\tau) = \exp(-H_0\tau) \exp(H\tau) a_{j\sigma}^+(0) \exp(H\tau) \exp(H_0\tau).$$

В этом случае будем иметь два уравнения для неизвестных операторов ($j = f, l$)

$$\frac{d}{d\tau} \tilde{a}_{j\sigma}^+(\tau) = U_j \Delta \tilde{n}_{j\bar{\sigma}}(\tau) \tilde{a}_{j\sigma}^+(\tau), \quad (10)$$

где $\Delta \tilde{n}_{j\bar{\sigma}}(\tau) = \exp(-H_0\tau) \Delta n_{j\bar{\sigma}}(\tau) \exp(H_0\tau)$, $\Delta n_{j\bar{\sigma}}(\tau)$ — оператор флуктуации числа частиц в представлении Гейзенберга. Уравнение движения для оператора $\Delta \tilde{n}_{j\bar{\sigma}}(\tau)$ имеет вид

$$\frac{d}{d\tau} \Delta \tilde{n}_{j\bar{\sigma}} = 0.$$

Таким образом, $\Delta \tilde{n}_{j\bar{\sigma}}(\tau)$ является интегралом движения: $\Delta \tilde{n}_{j\bar{\sigma}}(\tau) = \Delta n_{j\bar{\sigma}}(0)$.

Для того чтобы получить замкнутую систему дифференциальных уравнений, умножим уравнение (10) на оператор флуктуации $\Delta n_{j\bar{\sigma}} = \Delta n_{j\bar{\sigma}}(0)$ и ограничимся приближением (см. Приложение 1)

$$\Delta n_{j\bar{\sigma}}^2 = \langle \Delta n_{j\bar{\sigma}}^2 \rangle, \quad (j = f, l).$$

В этом случае получим следующие уравнения движения:

$$\frac{d}{d\tau} \Delta n_{j\bar{\sigma}} \tilde{a}_{j\sigma}^+(\tau) = U_j \langle \Delta n_{j\bar{\sigma}}^2 \rangle \tilde{a}_{j\sigma}^+(\tau). \quad (11)$$

С учетом (5)–(7) и свойства $n_{j\bar{\sigma}}^2 = n_{j\bar{\sigma}}$ можно получить, что

$$\Phi^2 = \langle \Delta n_{j\bar{\sigma}}^2 \rangle = \langle \Delta n_{l\bar{\sigma}}^2 \rangle = 1/4 - S^2. \quad (12)$$

Решение системы уравнений (10), (11) имеют вид ($\tilde{a}_{j\sigma}^+(0) = a_{j\sigma}^+(0)$)

$$\begin{aligned} \tilde{a}_{j\sigma}^+(\tau) = a_{j\sigma}^+(0) \operatorname{ch}(U_j \Phi \tau) \\ + \Delta n_{j\bar{\sigma}} a_{j\sigma}^+(0) \operatorname{sh}(U_j \Phi \tau) / \Phi, \end{aligned} \quad (13)$$

$$\begin{aligned} \Delta n_{j\bar{\sigma}} \tilde{a}_{j\sigma}^+(\tau) = \Delta n_{j\bar{\sigma}} a_{j\sigma}^+(0) \operatorname{ch}(U_j \Phi \tau) \\ + \Phi a_{j\sigma}^+(0) \operatorname{sh}(U_j \Phi \tau), \end{aligned} \quad (14)$$

где $\operatorname{sh}(x)$, $\operatorname{ch}(x)$ — гиперболические функции.

Тогда общее решение (9) имеет вид

$$\begin{aligned} a_{j\sigma}^+(\tau) = \exp(H_0\tau) a_{j\sigma}^+(0) \exp(-H_0\tau) \operatorname{ch}(U_j \Phi \tau) \\ + \Delta n_{j\bar{\sigma}} \exp(H_0\tau) a_{j\sigma}^+(0) \exp(-H_0\tau) \operatorname{sh}(U_j \Phi \tau) / \Phi. \end{aligned} \quad (15)$$

Вычислим оператор $\bar{a}_{f\sigma}^+(\tau) = \exp(H_0\tau) a_{f\sigma}^+(0) \exp(-H_0\tau)$, входящий в решение (15). Оператор $\bar{a}_{f\sigma}^+(\tau)$ подчиняется следующему уравнению:

$$\frac{d}{d\tau} \bar{a}_{f\sigma}^+(\tau) = \varepsilon'_1 \bar{a}_{f\sigma}^+(\tau) + \sum_l B_{fl} \bar{a}_{l\sigma}^+(\tau). \quad (16)$$

Аналогичным образом для оператора $\bar{a}_{l\sigma}^+(\tau)$ другой подсистемы можно получить следующее уравнение движения:

$$\begin{aligned} \frac{d}{d\tau} \bar{a}_{l\sigma}^+(\tau) = \varepsilon'_2 \bar{a}_{l\sigma}^+(\tau) \\ + \sum_f B_{fl} \bar{a}_{f\sigma}^+(\tau) + \sum_{l'} B'_{l'l'} \bar{a}_{l'\sigma}^+(\tau). \end{aligned} \quad (17)$$

После преобразования Фурье [12]

$$a_{f\sigma}^+ = \sqrt{2/N} \sum_k a_{k\sigma}^+ \exp(-ikr_f),$$

$$a_{l\sigma}^+ = \sqrt{2/N} \sum_k b_{k\sigma}^+ \exp(-ikr_l),$$

из уравнений (16), (17) получим

$$\frac{d}{d\tau} \bar{a}_{k\sigma}^+(\tau) = \varepsilon'_1 \bar{a}_{k\sigma}^+(\tau) + B_k \bar{b}_{k\sigma}^+(\tau), \quad (18)$$

$$\frac{d}{d\tau} \bar{b}_{k\sigma}^+(\tau) = \varepsilon'_{2k} \bar{b}_{k\sigma}^+(\tau) + B_k \bar{a}_{k\sigma}^+(\tau), \quad (19)$$

где ε'_{2k} , B_k определяются следующим образом ($d = 2$):

$$\varepsilon'_{2k} = \varepsilon'_2 + B'_k, \quad B'_k = -4B' \cos(k_x a) \cos(k_y a),$$

$$B_k = -2B [\cos(k_x a) + \cos(k_y a)].$$

Уравнения (18), (19) имеют решения ($\bar{a}_{k\sigma}^+(0) = a_{k\sigma}^+(0)$, $\bar{b}_{k\sigma}^+(0) = b_{k\sigma}^+(0)$)

$$\begin{aligned} \bar{a}_{k\sigma}^+(\tau) = a_{k\sigma}^+(0) \left[((\varepsilon'_1 - \varepsilon'_{2k})/2t_k) \operatorname{sh}(t_k \tau) + \operatorname{ch}(t_k \tau) \right] \\ \times \exp(\tau(\varepsilon'_1 + \varepsilon'_{2k})/2) + b_{k\sigma}^+(0) \operatorname{sh}(t_k \tau) \\ \times \exp(\tau(\varepsilon'_1 + \varepsilon'_{2k})/2) B_k / t_k, \end{aligned} \quad (20)$$

$$\begin{aligned} \bar{b}_{k\sigma}^+(\tau) = b_{k\sigma}^+(0) \left[((\varepsilon'_{2k} - \varepsilon'_1)/2t_k) \operatorname{sh}(t_k \tau) + \operatorname{ch}(t_k \tau) \right] \\ \times \exp(\tau(\varepsilon'_1 + \varepsilon'_{2k})/2) + a_{k\sigma}^+(0) \operatorname{sh}(t_k \tau) \\ \times \exp(\tau(\varepsilon'_1 + \varepsilon'_{2k})/2) B_k / t_k, \end{aligned} \quad (21)$$

где $t_k = \sqrt{((\varepsilon'_{2k} - \varepsilon'_1)/2)^2 + B_k^2}$.

После преобразования Фурье общее решение (15) с учетом (20) и (21) будет иметь вид

$$a_{k\sigma}^+(\tau) = \left\{ \left[a_{k\sigma}^+(0) \left[((\varepsilon'_1 - \varepsilon'_{2k})/2t_k) \text{sh}(t_k\tau) + \text{ch}(t_k\tau) \right] + b_{k\sigma}^+(0) \text{sh}(t_k\tau) B_k/t_k \right] \text{ch}(U_1\Phi\tau) + \left[\Delta n_{1\bar{\sigma}} a_{k\sigma}^+(0) \left[((\varepsilon'_1 - \varepsilon'_{2k})/2t_k) \text{sh}(t_k\tau) + \text{ch}(t_k\tau) \right] + \Delta n_{1\bar{\sigma}} b_{k\sigma}^+(0) \text{sh}(t_k\tau) B_k/t_k \right] \times \text{sh}(U_1\Phi\tau)/\Phi \right\} \exp(\tau(\varepsilon'_1 + \varepsilon'_{2k})/2), \quad (22)$$

где $\Delta n_{1\bar{\sigma}}$ — оператор однородной флуктуации числа в подрешетке A [8]. Для электронов другой подрешетки

$$b_{k\sigma}^+(\tau) = \left\{ \left[b_{k\sigma}^+(0) \left[((\varepsilon'_{2k} - \varepsilon'_1)/2t_k) \text{sh}(t_k\tau) + \text{ch}(t_k\tau) \right] + a_{k\sigma}^+(0) \text{sh}(t_k\tau) B_k/t_k \right] \text{ch}(U_2\Phi\tau) + \left[\Delta n_{2\bar{\sigma}} b_{k\sigma}^+(0) \left[((\varepsilon'_{2k} - \varepsilon'_1)/2t_k) \text{sh}(t_k\tau) + \text{ch}(t_k\tau) \right] + \Delta n_{2\bar{\sigma}} a_{k\sigma}^+(0) \text{sh}(t_k\tau) B_k/t_k \right] \times \text{sh}(U_2\Phi\tau)/\Phi \right\} \exp(\tau(\varepsilon'_1 + \varepsilon'_{2k})/2). \quad (23)$$

Оператор однородной флуктуации числа частиц в подрешетке C $\Delta n_{2\bar{\sigma}}$ определяется аналогично оператору $\Delta n_{1\bar{\sigma}}$ [8].

В (22) и (23) заключена вся информация о физических свойствах модели Хаббарда в рамках выбранного приближения. Нас в первую очередь интересует спектр элементарных возбуждений в системе. Как следует из (22) и (23), фурье-образы антикоммутирующих функций Грина равны соответственно

$$\langle a_{k\sigma}^+ | a_{k\sigma} \rangle_E = \frac{i}{2\pi} \frac{1}{4} \left\{ \frac{1 + (\varepsilon'_1 - \varepsilon'_{2k})/2t_k}{E - U_1\Phi - t_k - (\varepsilon'_1 + \varepsilon'_{2k})/2} + \frac{1 + (\varepsilon'_1 - \varepsilon'_{2k})/2t_k}{E + U_1\Phi - t_k - (\varepsilon'_1 + \varepsilon'_{2k})/2} + \frac{1 - (\varepsilon'_1 - \varepsilon'_{2k})/2t_k}{E - U_1\Phi + t_k - (\varepsilon'_1 + \varepsilon'_{2k})/2} + \frac{1 - (\varepsilon'_1 - \varepsilon'_{2k})/2t_k}{E + U_1\Phi + t_k - (\varepsilon'_1 + \varepsilon'_{2k})/2} \right\}, \quad (24)$$

$$\langle b_{k\sigma}^+ | b_{k\sigma} \rangle_E = \frac{i}{2\pi} \frac{1}{4} \left\{ \frac{1 - (\varepsilon'_1 - \varepsilon'_{2k})/2t_k}{E - U_2\Phi - t_k - (\varepsilon'_1 + \varepsilon'_{2k})/2} + \frac{1 - (\varepsilon'_1 - \varepsilon'_{2k})/2t_k}{E + U_2\Phi - t_k - (\varepsilon'_1 + \varepsilon'_{2k})/2} + \frac{1 + (\varepsilon'_1 - \varepsilon'_{2k})/2t_k}{E - U_2\Phi + t_k - (\varepsilon'_1 + \varepsilon'_{2k})/2} + \frac{1 + (\varepsilon'_1 - \varepsilon'_{2k})/2t_k}{E + U_2\Phi + t_k - (\varepsilon'_1 + \varepsilon'_{2k})/2} \right\}, \quad (25)$$

где

$$\varepsilon'_1 + \varepsilon'_{2k} = \varepsilon_1 + \varepsilon_2 + (U_1 + U_2)/2 + S(U_1 - U_2) - 4B' \cos(k_x a) \cos(k_y a),$$

$$\varepsilon'_1 - \varepsilon'_{2k} = \varepsilon_1 - \varepsilon_2 + (U_1 - U_2)/2 + S(U_1 + U_2) + 4B' \cos(k_x a) \cos(k_y a).$$

Полюса функций Грина (30), (31) определяют энергетический спектр

$$E_{1-4} = ((\varepsilon'_1 + \varepsilon'_{2k})/2) \pm U_1\Phi \pm t_k, \quad (26)$$

$$E_{5-8} = ((\varepsilon'_1 + \varepsilon'_{2k})/2) \pm U_2\Phi \pm t_k. \quad (27)$$

На рис. 1 приведен энергетический спектр модели Хаббарда при значении спина $S = 0$ (парамагнетизм). На рис. 2 и 3 приведены для сравнения энергетические спектры с учетом и без учета переноса электронов от атомов одного сорта к атомам этого же сорта по диагонали квадрата. При данном значении B' учет перескока электронов от узла к узлу по диагонали квадрата приводит к сужению нижней подзоны; при этом существенным образом изменяется вид энергетической поверхности.

Энергетические спектры, приведенные на рисунках, позволяют естественным образом объяснить переход металл-диэлектрик при изменении концентрации электронов n , тогда как применение стандартного приближения Хартри-Фока не приводит к такому результа-

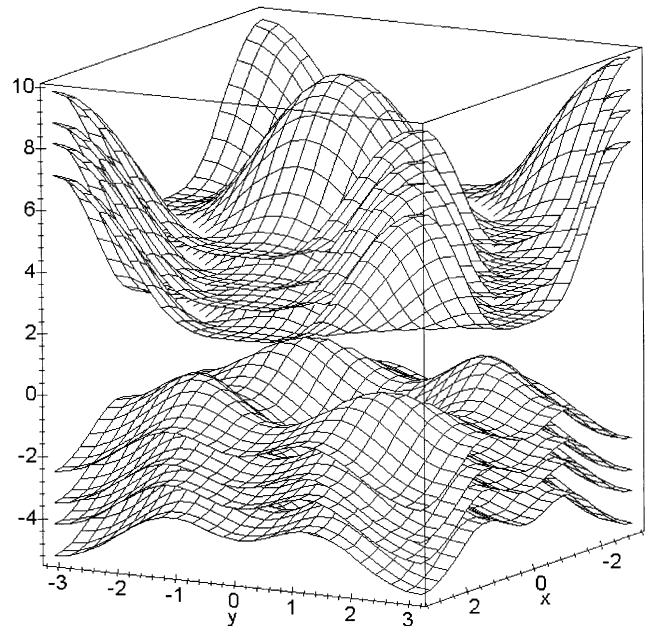


Рис. 1. Энергетический спектр модели Хаббарда при следующих значениях параметров: $\varepsilon_1 = -4$ eV, $\varepsilon_2 = -1$ eV, $U_1 = 8$ eV, $U_2 = 2$ eV, $B = 1.5$ eV, $B' = -0.3B$, $S = 0$.

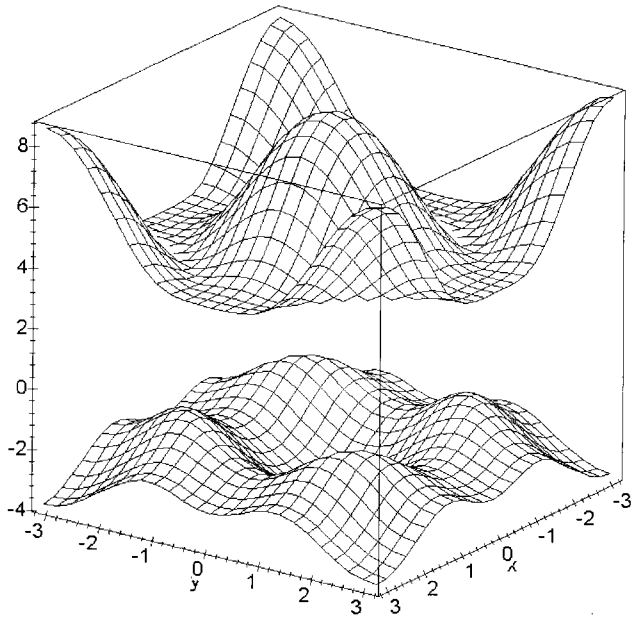


Рис. 2. То же, что на рис. 1, при: $\varepsilon_1 = -4\text{eV}$, $\varepsilon_2 = -1\text{eV}$, $U_1 = 8\text{eV}$, $U_2 = 2\text{eV}$, $B = 1.5\text{eV}$, $B' = -0.3B$, $S = 1/2$.

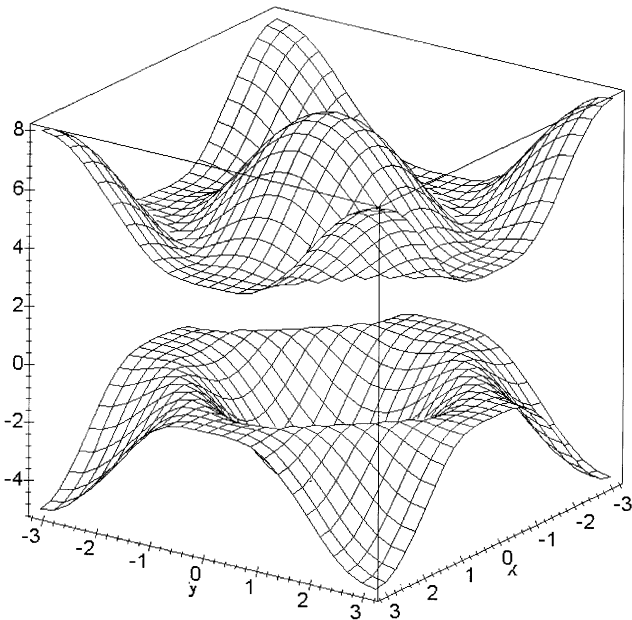


Рис. 3. То же, что на рис. 1, при: $\varepsilon_1 = -4\text{eV}$, $\varepsilon_2 = -1\text{eV}$, $U_1 = 8\text{eV}$, $U_2 = 2\text{eV}$, $B = 1.5\text{eV}$, $B' = 0$, $S = 1/2$.

ту [13]: приходится прибегать к разного рода расщеплениям, например, типа "сплавной аналогии" [14,2]. Отметим при этом, что методика вычисления функций Грина и корреляционных функций построена таким образом, чтобы при переходе к атомному пределу получить точный результат (см. [7] и Приложение 2).

С помощью флуктуационно-диссипационной теоремы [15] из (24) можно получить, что

$$\begin{aligned} \langle a_{k\sigma}^+ a_{k\sigma} \rangle = & \frac{1}{4} \left(1 + \frac{\varepsilon'_1 - \varepsilon'_{2k}}{2t_k} \right) \left[f^+ \left(U_1 \Phi + t_k + \frac{\varepsilon'_1 + \varepsilon'_{2k}}{2} \right) \right. \\ & \left. + f^+ \left(-U_1 \Phi + t_k + \frac{\varepsilon'_1 + \varepsilon'_{2k}}{2} \right) \right] \\ & + \frac{1}{4} \left(1 - \frac{\varepsilon'_1 - \varepsilon'_{2k}}{2t_k} \right) \left[f^+ \left(U_1 \Phi - t_k + \frac{\varepsilon'_1 + \varepsilon'_{2k}}{2} \right) \right. \\ & \left. + f^+ \left(-U_1 \Phi - t_k + \frac{\varepsilon'_1 + \varepsilon'_{2k}}{2} \right) \right]. \end{aligned} \quad (28)$$

Аналогичные равенства можно получить и для корреляционных функций $\langle a_{k\bar{\sigma}}^+ a_{k\bar{\sigma}} \rangle$, $\langle b_{k\sigma}^+ b_{k\sigma} \rangle$, $\langle b_{k\bar{\sigma}}^+ b_{k\bar{\sigma}} \rangle$. Сложив получившиеся выражения и просуммировав по всем возможным значениям k в пределах первой зоны Бриллюэна, получим уравнение на химпотенциал. Отметим, что равенству $n = 1$ соответствует при $T = 0$ условие $\varepsilon_1 + U_1/2 = \varepsilon_2 + U_2/2 = 0$.

С помощью (28) можно получить самосогласованное уравнение для определения намагниченности (спина S). В случае точно наполовину заполненной зоны оно будет иметь вид

$$\begin{aligned} \frac{1}{2} - S = & \frac{2}{N} \sum_k \frac{1}{4} \left[1 + \frac{S(U_1 + U_2) - B'_k}{2t_k} \right] \\ & \times \left[f^+ \left(U_1 \Phi + t_k + \frac{S(U_1 - U_2) + B'_k}{2} \right) \right. \\ & \left. + f^+ \left(-U_1 \Phi + t_k + \frac{S(U_1 - U_2) + B'_k}{2} \right) \right] \\ & + \frac{2}{N} \sum_k \frac{1}{4} \left[1 - \frac{S(U_1 + U_2) - B'_k}{2t_k} \right] \\ & \times \left[f^+ \left(U_1 \Phi - t_k + \frac{S(U_1 - U_2) + B'_k}{2} \right) \right. \\ & \left. + f^+ \left(-U_1 \Phi - t_k + \frac{S(U_1 - U_2) + B'_k}{2} \right) \right], \end{aligned} \quad (29)$$

где $t_k = \sqrt{((S(U_1 + U_2) - B'_k)^2/4) + B_k^2}$. Как в области сильной связи $(U_1 + U_2)/16B \gg 1$ ($S \rightarrow 1/2$), так и в области слабой связи $(U_1 + U_2)/16B \ll 1$ ($S \rightarrow 0$) при температуре $T \rightarrow 0$ из (35) можно получить следующее уравнение согласования для спина S :

$$S = \frac{1}{2N} \sum_k \frac{S(U_1 + U_2) - B'_k}{t_k}. \quad (30)$$

В области промежуточных значений энергий кулоновского взаимодействия и интеграла перескока необходимо вести численный расчет непосредственно по формуле (29). Зависимость спина S от суммы энергий кулоновского взаимодействия приведена на рис. 4 как с учетом, так и

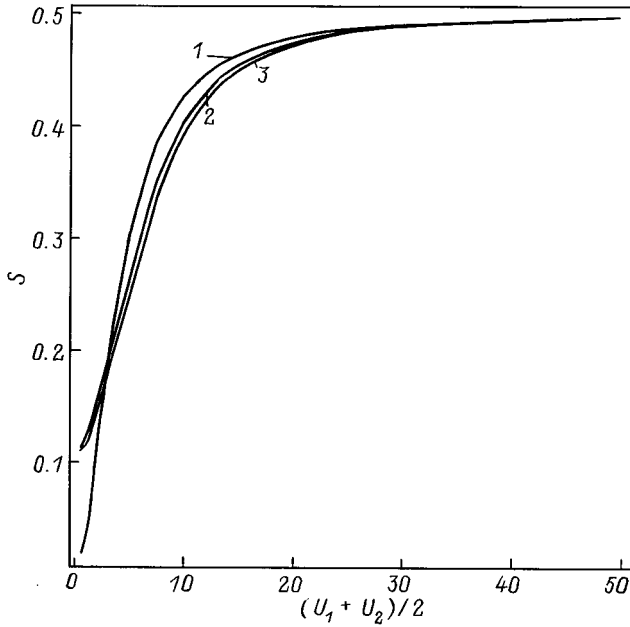


Рис. 4. Спин (намагниченность) S как функция $(U_1 + U_2)/2$ при $n = 1$, $B = 1.5$ eV, $T = 0$, $B' = 0$ (1), $B' = -0.3B$ (2), $B' = -0.45B$ (3).

без учета интеграла переноса B' при температуре $T = 0$. Если система находится в режиме сильных корреляций, учет интеграла переноса B' в случае $B' < 0$ ($B > 0$) способствует делокализации электронов и, как следствие, приводит к уменьшению значения намагниченности по сравнению со случаем $B' = 0$. Если же система находится в режиме слабых корреляций, то электроны являются по существу коллективизированными вследствие малости U . При этом учет интеграла переноса B' в случае $B' < 0$ ($B > 0$) приводит к тенденции "локализации" электронов и по этой причине — к увеличению значения намагниченности по сравнению со случаем $B' = 0$ ¹.

Отметим в заключение, что исследование энергетического спектра проводится следующим образом: при заданных значениях параметров U_1, U_2, T с помощью уравнения (30) определяется значение спина S , затем эта величина подставляется в формулы для энергетического спектра (26), (27). Изменение температуры или других параметров системы приводит к перестройке энергетического спектра вследствие изменения при этом величины намагниченности S .

Таким образом, предложенная в работе методика расчета антикоммутирующей функции Грина и корреляционных функций позволяет исследовать как спектр элементарных возбуждений, так и вид намагниченности в зависимости от величины интеграла переноса на второй

¹ Заметим, что величина намагниченности зависит от знака интеграла переноса B' . Если $B' > 0$ ($B > 0$), возможность переноса электронов по диагонали квадрата приводит к еще большей локализации и, как следствие, — к увеличению величины S по сравнению со случаем $B' = 0$.

по близости соседний узел решетки. Учет интеграла переноса B' приводит к существенному изменению вида энергетического спектра и заметно влияет на зависимость намагниченности S от величины кулоновского потенциала по сравнению со случаем $B' = 0$.

Автор выражает благодарность Р.Р. Нигматуллину за обсуждение результатов работы и полезные советы.

Приложение 1

Оценим условия, при которых справедливо равенство

$$\Delta n_{j\bar{\sigma}}^2 = \langle \Delta n_{j\bar{\sigma}}^2 \rangle, \quad (j = f, l).$$

В соответствии с равенством $\Delta n_{j\bar{\sigma}} = n_{j\bar{\sigma}} - \langle n_{j\bar{\sigma}} \rangle$, имеем

$$\|(\Delta n_{j\bar{\sigma}})^2 - \langle (\Delta n_{j\bar{\sigma}})^2 \rangle\| = \sqrt{\langle n_{j\bar{\sigma}} \rangle (1 - \langle n_{j\bar{\sigma}} \rangle)} |1 - 2\langle n_{j\bar{\sigma}} \rangle|,$$

где $\|\hat{A}\| = \sqrt{Sp\{\hat{A}^+\hat{A} \exp(-\beta H)\}}$ — норма оператора \hat{A} , $|C|$ — модуль величины C .

Таким образом, в случаях, когда $\langle n_{j\bar{\sigma}} \rangle = 1/2$, $\langle n_{j\bar{\sigma}} \rangle = 0$, $\langle n_{j\bar{\sigma}} \rangle = 1$, погрешность расчетов, проведенных в рамках приближения статических флуктуаций, должна стремиться к нулю, а в областях $\langle n_{j\bar{\sigma}} \rangle \approx 1/2$, $\langle n_{j\bar{\sigma}} \rangle \approx 0$, $\langle n_{j\bar{\sigma}} \rangle \approx 1$ погрешность расчетов должна быть минимальной. По-видимому, приближение статических флуктуаций наиболее плодотворно работает в интересующем нас случае — вблизи точки антиферромагнитного упорядочения.

Приложение 2

Рассмотрим случай атомного предела, положив в гамильтониане (2) $B_{fl} = B_{ll'} = 0$. В этом случае задача решается точно. Например, для подрешетки A уравнения движения имеют вид

$$\frac{d}{d\tau} a_{f\sigma}^+(\tau) = \varepsilon_1 a_{f\sigma}^+(\tau) + U_1 n_{f\bar{\sigma}} a_{f\sigma}^+(\tau),$$

$$\frac{d}{d\tau} n_{f\bar{\sigma}} a_{f\sigma}^+(\tau) = (\varepsilon_1 + U_1) n_{f\bar{\sigma}} a_{f\sigma}^+(\tau). \quad (П1)$$

Решение системы дифференциальных уравнений (П1) для оператора рождения частицы имеет вид

$$a_{f\sigma}^+(\tau) = \left\{ a_{f\sigma}^+(0) + n_{f\bar{\sigma}} a_{f\sigma}^+(0) \times [\exp(U_1 \tau) - 1] \right\} \exp(\varepsilon_1 \tau). \quad (П2)$$

В этом случае фурье-образ антикоммутирующей функции Грина имеет вид

$$\langle a_{f\sigma}^+ | a_{f\sigma} \rangle_E = \frac{i}{2\pi} \left\{ \frac{1 - \langle n_{f\bar{\sigma}} \rangle}{E - \varepsilon_1} + \frac{\langle n_{f\bar{\sigma}} \rangle}{E - \varepsilon_1 - U_1} \right\}. \quad (П3)$$

Аналогичное выражение можно получить и для электронов другой подсистемы. Полюса функций Грина имеют вид

$$\begin{aligned} E_1 &= \varepsilon_1, & E_2 &= \varepsilon_2, \\ E_3 &= \varepsilon_1 + U_1, & E_4 &= \varepsilon_2 + U_2. \end{aligned} \quad (\text{П4})$$

Решая эту же задачу в приближении статических флуктуаций можно получить следующее выражение для фурье-образа антикоммутирующей функции Грина:

$$\begin{aligned} \langle a_{f\sigma}^+ | a_{f\sigma} \rangle_E &= \frac{i}{2\pi} \left\{ \frac{1/2}{E - \varepsilon_1 - U_1(1/2 + S + \Phi)} \right. \\ &\quad \left. + \frac{1/2}{E - \varepsilon_1 - U_1(1/2 + S - \Phi)} \right\}. \end{aligned} \quad (\text{П5})$$

Применив флуктуационно-диссипационную теорему [15], из (П5) получим следующее уравнение для определения спина S :

$$\begin{aligned} \frac{1}{2} - S &= \frac{1}{2} \left\{ f^+(\varepsilon_1 + U_1(1/2 + S + \Phi)) \right. \\ &\quad \left. + f^+(\varepsilon_1 + U_1(1/2 + S - \Phi)) \right\}, \end{aligned}$$

из которого в случае точного полузаполнения зоны при произвольных значениях температуры следует равенство $S = 0$.

Подставляя найденное значение спина S в функцию Грина (П4), получим следующую формулу для фурье-образа функции Грина:

$$\langle a_{f\sigma}^+ | a_{f\sigma} \rangle_E = \frac{i}{2\pi} \left\{ \frac{1/2}{E - \varepsilon_1} + \frac{1/2}{E - \varepsilon_1 - U_1} \right\},$$

в точности совпадающую с выражением (П3), если учесть, что в случае точного полузаполнения зоны, как следует из (П3) при переходе к термодинамическим средним с помощью флуктуационно-диссипационной теоремы, $\langle n_{f\sigma} \rangle = \langle n_{f\bar{\sigma}} \rangle = 1/2$.

Таким образом, приближение статических флуктуаций в случае атомного предела приводит к точному результату.

Список литературы

- [1] V.I. Belinicher, A.L. Chernyshev. Phys. Rev. **B49**, 14, 9746 (1994).
- [2] F. Onufrieva, J. Rossat-Mignod. Phys. Rev. **B52**, 10, 7572 (1995).
- [3] R. Hayn, A.F. Barabanov, J. Schulenburg. Preprint (1996).
- [4] M.V. Eremin et al. JETP Lett. **60**, 2, 125 (1994).
- [5] E.H. Lieb. Phys. Rev. Lett. **62**, 1201 (1989).
- [6] H. Tasaki. Preprint cond-mat/9707286 (1997).
- [7] В.В. Лоскутов, Г.И. Миронов, Р.Р. Нигматуллин. ФНТ **22**, 3, 282 (1996).
- [8] Г.И. Миронов. ФГТ **39**, 9, 1594 (1997).
- [9] J. Hubbard. Proc. Roy. Soc. **A276**, 1365, 238 (1963).
- [10] V.J. Emery. Phys. Rev. Lett. **58**, 26, 2794 (1987).
- [11] Р.Р. Нигматуллин, В.А. Тобоев. ТМФ **68**, 1, 88 (1986).
- [12] Т. Мория. Спиновые флуктуации в магнетиках. М. (1988). 287 с.
- [13] Е.В. Кузьмин, В.А. Петраковский, З.А. Завадский. Физика магнитоупорядоченных веществ. М. (1976). 288 с.
- [14] J. Hubbard. Proc. Roy. Soc. **A281**, 401 (1964).
- [15] С.В. Тябликов. Методы квантовой теории магнетизма. М. (1965). 334 с.